

## 論文

UDC 669.162.283 : 669.162.263.4

## ガス流れ、伝熱、反応を考慮した高炉半径方向モデル\*

羽田野道春\*\*・栗田興一\*\*\*

## A Mathematical Model of Blast Furnace Considering Radial Distribution of Gas Flow, Heat Transfer and Reactions

Michiharu HATANO and Koichi KURITA

## Synopsis :

In consideration of the radial distribution of materials in the blast furnace, a new mathematical model of the blast furnace has been developed. This model consists of heat and mass balance equations at the existence of three phases (gas-solid-liquid) and the equation of motion for gas. Assuming streamline of solid and liquid, the characteristic method has been employed to solve these equations.

By the mathematical model, the following results have been obtained.

1. Calculated isothermal line (1400°C) is similar to that of quenched blast furnace.
2. The distributions of temperature, composition and mass velocity in the upper part of the shaft is strongly affected by the O/C distribution.
3. In the lower part of the blast furnace, the dead zone plays as a heat reserved zone and has the influence of the formation of the inverted V-shaped cohesive zone.

## 1. 緒 言

近年、吹き止め高炉の解体調査<sup>1,2)</sup>が実施されるにようび、融着帯を始めとして、炉内現象に関する半径方向分布の存在が明確に認識されるとともに、それらの高炉操業におよぼす影響が、論議されつつある。

高炉内の半径方向分布に関するデータは、古くからあるが、これを化学工学的手法により解析しようとする試みは、1969年、LAHIRI ら<sup>3)</sup>によつて始められた。LAHIRI らのモデルは、半径方向分布を取り扱うにあたり、気-固反応領域のみに着目し、層頂におけるガス温度、成分および流量の分布を先駆的に、初期条件として与え、層頂から、シャフト下部に向かつて計算を実行している。従つて、LAHIRI らのモデルによつて表現された半径方向分布は、操業因子のみを入力して求めた結果ではなく、層頂で先駆的に分布を与えた結果にすぎないといえよう。

また、桑原ら<sup>4)</sup>は、LAHIRI らのモデルを発展させ、層頂の分布を初期条件としてはいるが、さらに装入物分布とガス流量分布の関係を規定するとともに、ガス、固

体のピストン流れを仮定することにより、炉下部にも解析領域を拡げ、高炉全体の炉内状態を推定している。

これと同様の手法は、炉頂ゾンデの情報をもとに、融着帯の半径方向分布を推定するモデルにも用いられている<sup>5,6)</sup>。

一方、高炉内ガス流れの半径方向分布に関する解析は、ERGNN 式<sup>7)</sup>を2次元に拡張することにより、1970年RADESTOCK ら<sup>8)</sup>によつて発表されて以来、同様なモデルが多数報告されている<sup>9~11)</sup>。しかし、これらのガス流れモデルは、炉内反応、伝熱が考慮されていないため、例えは、融着層分布のガス流れにおよぼす影響を考察する場合、融着層の分布を仮定しているのが現状である。

以上に述べたことから明らかなように、高炉内現象の半径方向分布は、ガス流れ、反応、伝熱が相互に関連して生起するものであり、高炉の全体像を明確にするためには、これら3つの要因をすべて考慮して、同時に解析することが必要となつてくる。

これら3つの要因の同時解析にいたる、過渡的な段階としては、全ら<sup>12)</sup>による半径方向の3分割モデルがあ

\* 昭和52年10月本会講演大会にて発表 昭和55年4月11日受付 (Received Apr. 11, 1980)

\*\* 住友金属工業(株)中央技術研究所 波崎研究センタ 工博 (Hasaki Research Center, Central Research Laboratories, Sumitomo Metal Industries, Ltd.)

\*\*\* 住友金属工業(株)中央技術研究所 波崎研究センタ (Hasaki Research Center, Central Research Laboratories, Sumitomo Metal Industries, Ltd., 16 Oaza-Sunayama Hasakimachi Kashima 314-02)

る。このモデルは、高炉を同心円状に3つのゾーンに分割し、各ゾーンを相互に独立した断面均一反応器と考えることにより、炉内半径方向分布をマクロ的に扱えるモデルであり、操業条件のみを入力条件とする最初の試みである。

その後、1976年にいたりガス流れ、反応、伝熱を同時に解析できるシャフト炉モデルが、八木ら<sup>13)</sup>によって発表された。現状では、高炉全体を対象とするには至っていないが、熱伝導項、拡散項をも考慮した厳密なモデルであり、今後が期待されている。

著者らも、今回前記3つの要因を同時に解析できる高炉の半径方向統一モデルを開発した。本モデルは、運動量移動、質量保存、エネルギー保存の3つの基礎式をもとに、気-固-液3相間の流動、反応、伝熱を考慮したモデルで、数値解析法としては、特性曲線法を使用していることが、特徴である。

以下にモデルの概要と、炉内における状態変数の軸方向、半径方向分布に関するシミュレーション結果について報告する。

## 2. 統一半径方向モデルの概要

高炉内に存在する物質は、気-液-固の3相に大別されるが、これらの3相について、流動、反応、伝熱に関する、次の3つの基礎式を導入した。

### (1) 運動方程式

後述するごとく、液相、固相については、流線を仮定し、ガス流れについては、2次元に拡張したERGUN式を採用した。

$$P_{,x} = -(\alpha_{xy}\rho_g |\mathbf{V}_g| + \beta_{xy}) \cdot \mathbf{V}_{gy} \quad (1)$$

ここで、 $\alpha_{xy}$ 、 $\beta_{xy}$ は通気抵抗をあらわすテンソルである。

### (2) 質量保存式

反応速度を考慮して、着目する各成分ごとに、物質収支をとる方法を適用した。

$$\begin{aligned} \frac{D}{Dt} (E_j C_i) + C_i \cdot \nabla \cdot \mathbf{V}_j - \mathcal{D}_i \nabla^2 \cdot C_i \\ = R_i (C_1, \dots, C_n) \end{aligned} \quad (2)$$

ここで、 $i$ は着目成分を表し、 $j$ は各々気相、固相、液相を表す。

また、本報告では定常状態を取り扱うので、

$$\frac{D}{Dt} \equiv q_r \frac{\partial}{\partial r} + q_z \frac{\partial}{\partial z}$$

と定義する。

### (3) エネルギ保存則

反応熱、熱交換を考慮して、各相ごとに、熱収支をと

る方法を採用した。

$$\begin{aligned} \frac{D}{Dt} (c_j \rho_j E_j T_j) + c_j \rho_j T_j \cdot \nabla \cdot \mathbf{V}_j - k_j \nabla^2 \cdot T_j \\ = - \sum_k \frac{h_{kj}}{\delta} (T_j - T_k) + Q_j \end{aligned} \quad (3)$$

ここで、添字 $k$ は $j$ 相以外の相を示す。例えば、 $j$ が気相の場合は、 $k$ は固相および液相を示す。

以上に述べた3つの基礎式を用いて、3相に関する、流動、反応、伝熱を解析する方法について、以下に述べる。

### 2.1 運動量移動

#### 2.1.1 気体の運動

ガスの運動については、上述のERGUNの圧力損失式と、質量保存式を連立させることにより求める。ここで質量保存式は、各相に関する成分の総和、すなわち $\sum_i \xi_i = 1$ を用いることにより、次のようになる。

$$\frac{D}{Dt} (E_j \rho_j) + \rho_j \nabla \cdot \mathbf{V}_j = \sum_i R_i M_i \quad (4)$$

ここで、(2)式における拡散項は後述する理由により、無視した。

(4)式は、定常を仮定すると、つぎの質量保存則になる。

$$\nabla \cdot (E_j \rho_j \mathbf{q}_j) = W \quad (5)$$

上式より、前報<sup>14)</sup>と同様に、流れの函数 $\Psi$ を用い、軸方向、半径方向のガス流速を、次のように求めることができる。

$$\left. \begin{aligned} V_r &= (r^2 W / 2 - \Psi_{,z}) / (\rho_g r) \\ V_z &= \Psi_{,r} / (\rho_g r) \end{aligned} \right\} \quad (6)$$

さらに、ガスの状態方程式、 $P = \rho_g \kappa T_g$ を代入し、 $(P^2)_{,rz} = (P^2)_{,zz}$ を用いると、 $\Psi$ に関する橢円形の2階偏微分方程式が得られ、有限差分方程式による数値解析が可能となる。この $\Psi$ の数値解析結果を用いると、(6)式から炉内のガス流速分布を、また、(1)式から圧力分布を計算することができる。

ここで、(1)式中の $\alpha_{xy}$ 、 $\beta_{xy}$ は、解体調査で得られた軟化融着層の知見に従い、炉内半径方向のガス流れ、いわゆるクロスフローの発生を考慮して定めた通気異方性を示すテンソルである。

次に、このテンソルの決定方法について述べる。まず高炉内の装入物を鉱石層と、コークス層に大別し、各層内では、通気の等方性が成り立つと仮定すると、次式が成立する。

#### (1) 鉱石層について

$$\nabla \cdot P = -(\alpha_o \cdot \rho_g |\mathbf{V}_g| + \beta_o) \cdot \mathbf{V}_g \quad (7)$$

$$\text{ここで } \alpha_o = a_o \frac{1 - \varepsilon_o}{\varepsilon_o^3} \cdot \frac{1}{d_o},$$



下するものと考えられるので、本モデルでは、液に関しては、近似的に炉体形状線に沿うピストン流れで滴下するものと仮定した。

## 2.2 反応

(2)式に示した質量保存則は、つぎに示す理由により、拡散項を無視した形とした。すなわち、対流項、 $\frac{D}{Dt}(E_i C_i) = \mathbf{V}_j \cdot \nabla \cdot C_i$ について、ガス流速が実炉で1 m/s程度および、 $\nabla C_i$ が0.003 kmol/m<sup>4</sup>程度であることを考慮すると $\frac{D}{Dt}(E_j C_i) = 0.003 \text{ kmol}/(\text{m}^3 \cdot \text{s})$ であるのに比し、拡散項 $\mathcal{D} \nabla^2 C_i$ については、拡散係数 $\mathcal{D}$ が、H<sub>2</sub>の場合で、 $0.74 \times 10^{-4} \text{ m}^2/\text{s}$ であること、さらに $\nabla^2 C_i$ が0.003 kmol/m<sup>5</sup>程度であることを考慮すると、 $\mathcal{D} \nabla^2 C_i = 0.002 \times 10^{-4} \text{ kmol}/(\text{m}^3 \cdot \text{s})$ となり、対流項は拡散項に比して、 $10^{-4}$ 程度小さいことになる。従つて、ガス流速が極端に小さい場合以外、拡散を考える必要のないことがわかる。このため、本モデルでは、1次近似として拡散項を省いた形で解析した。

反応に関する基礎式は、質量保存則(2)式を用いることにより、次のように表される。

$$\frac{D}{Dt}(E_j \rho_j \xi_i) + \xi_i \rho_j \cdot \nabla \cdot \mathbf{V}_j = R_i M_i \quad \dots \dots \dots (18)$$

(4)式を、(18)式に代入することにより、各相ごとに、着目する各成分に関する質量保存則が次のとく表される。

$$\frac{D}{Dt} \xi_i = \frac{R_i M_i - \xi_i \sum_i R_i M_i}{E_j \rho_j} \quad \dots \dots \dots (19)$$

上式は、 $\xi_i$ に関する一階の偏微分方程式であるから、後述するごとく、各相毎に、その相の流線に沿つて、これを積分する、いわゆる特性曲線法により、数値解を得ることができる。

## 2.3 伝熱

伝熱の基礎式は、厳密には、熱伝導も考慮する必要があるが、熱伝導による熱移動量は、ガスの1000°Cにおける熱伝導度( $k_g = 1.9 \times 10^{-5} \text{ kcal}/(\text{m}^2 \cdot \text{s} \cdot ^\circ\text{C})$ )および炉頂での平均的な値、 $\nabla^2 T_g = 200^\circ\text{C}/\text{m}^2$ を用いると、 $k_g \cdot \nabla^2 T_g = 4 \times 10^{-3} \text{ kcal}/(\text{m}^3 \cdot \text{s})$ であり、一方、運動量移動に伴つておこる熱移動量 $c_g \rho_g \mathbf{V}_g \cdot \nabla \cdot T_g$ は、 $\mathbf{V}_g = 1 \text{ m/s}$ ,  $c_g \rho_g = 0.0755 \text{ kcal}/\text{m}^3$ および、炉頂での平均的な、 $\nabla T_g = 160^\circ\text{C}/\text{m}$ を用いると、 $c_g \rho_g \mathbf{V}_g \cdot \nabla \cdot T_g = 12 \text{ kcal}/(\text{m}^3 \cdot \text{s})$ となり、運動量移動に伴つておこる熱移動量に比して、熱伝導項が、 $10^{-3}$ 程度小さいことがわかる。以上の理由により、本モデルでは、第1近似として、熱伝導項を省略した次式を採用した。

$$\begin{aligned} \frac{D}{Dt}(c_j \rho_j E_j T_j) + c_j \rho_j T_j \cdot \nabla \cdot \mathbf{V}_j = \\ - \sum_k \frac{h_{kj}}{\delta} (T_j - T_k) + Q_j \quad \dots \dots \dots (20) \end{aligned}$$

熱に関する方程式も、反応と同様に、(4)式を、(20)式に代入することにより、各相について、次のように整理される。

$$\begin{aligned} \frac{D}{Dt}(c_j T_j) = \frac{1}{E_j \rho_j} \left\{ - \sum_k \frac{h_{kj}}{\delta} (T_j - T_k) \right. \\ \left. + Q_j - c_j T_j \sum_i R_i M_i \right\} \quad \dots \dots \dots (21) \end{aligned}$$

着目成分に関する保存則(19)式と同様、 $c_j T_j$ に関する一階の偏微分方程式となるので、各相の流速に沿つて積分する方法により、炉内温度分布を計算することができる。

## 3. 入力条件

### 3.1 反応速度式

反応速度式としては、次の9個の反応を考慮した。

(1) 鉄鉱石の間接還元反応

鉄鉱石のCOおよびH<sub>2</sub>による間接還元反応は、全らの<sup>12)</sup>2界面(Fe<sub>2</sub>O<sub>3</sub>→FeO→Fe)モデルを使用した。従つて、反応速度式は4個になる。

(2) カーボンによる鉄鉱石の直接還元反応<sup>16)</sup>

(3) 石灰石の分解反応<sup>16)</sup>

(4) ソリューション・ロス反応<sup>16)</sup>

(5) カーボン水蒸気反応<sup>16)</sup>

(6) 水性ガス変換反応<sup>16)</sup>

なお、特性曲線法によれば、反応式の個数は容易に拡張可能である。

### 3.2 热伝達係数

熱計算に使用する熱伝達係数としては、固-気間、固-液間、液-気間の3種の熱伝達係数が必要であるが、固-気間以外は、十分な実験式が与えられていない。本報告では、固-液間、液-気間について簡単な基礎式を作成した。

#### 3.2.1 固-気間熱伝達係数

炉内の、固-気間熱伝達係数は、(22)式に示すRANZの式から求められる熱伝達係数、 $h_{gso}$ に対して、修正係数 $\gamma$ を乗じ((23)式)、解体調査<sup>12)</sup>や、炉内計測値と合致するように、 $\gamma$ をFig. 2のごとく定めた。

$$Nu = 2.0 + 0.6 \cdot (Pr_g)^{1/3} \cdot (9 \cdot Re_g)^{1/2} \quad \dots \dots \dots (22)$$

$$h_{gs} = \gamma \cdot h_{gso}, \quad h_{gso} = Nu \cdot k_g / d \quad \dots \dots \dots (23)$$

実績と合致させるため、融着帶領域で、 $\gamma$ をこのように低下させなければならない本質的な理由の究明は、今後の研究課題として残されているが、定性的には、融着



$$T'(x) = T'_{x=0} + (T'_{x=\Delta x} - T'_{x=0}) \cdot x / \Delta x \quad \dots (35)$$

さらに、 $c$ を $\Delta x$ 区間で一定とすると、(33)式の解は次のように表される。

$$T_{x=\Delta x} = Q/h + T'_{x=\Delta x} - bc\rho v/h \\ + (T'_{x=0} - Q/h - T'_{x=0} + bc\rho v/h) \cdot e^{-h\Delta x/(c\rho v)} \quad \dots (36)$$

$$\text{ここで } b = \frac{T'_{x=\Delta x} - T'_{x=0}}{\Delta x}$$

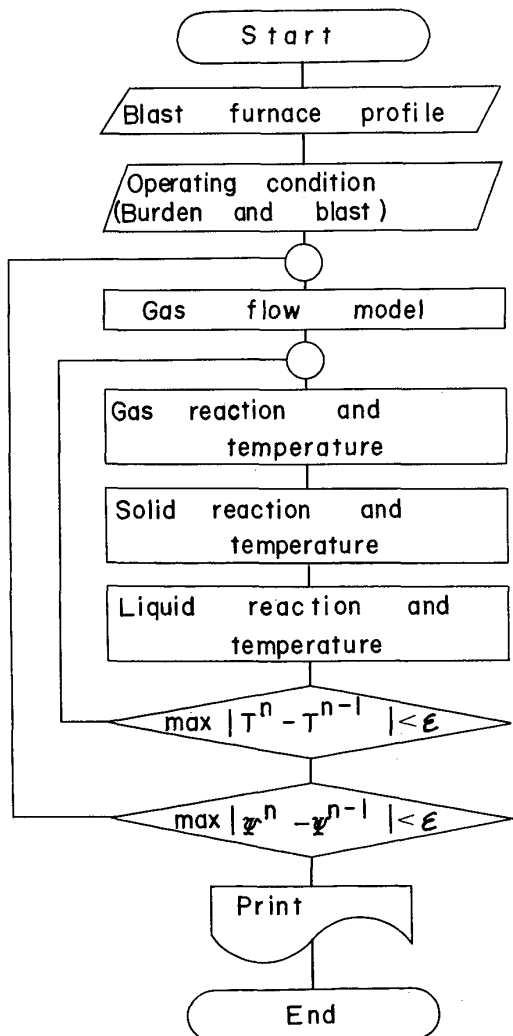
上式を採用することにより、メッシュを大きくしても良好な収束性を得ることができた。

#### 4.2 反応量分布計算方法

各成分の反応量分布については、(29)式、(30)式を修正オイラー法を用いて、各相毎に、その相の流線に沿つて積分を行うことにより求めた。

#### 4.3 計算フローチャート

本モデルの計算フローチャートを Fig. 3 に示す。入



$T$ ; temperature of gas, solid and liquid.  
 $y$ ; flow function of gas.

Fig. 3. Flow chart of calculation.

Table 1. Blast furnace profile and operating conditions.

Blast furnace profile		Operating conditions	
Diameter of throat	9.8m	Blast volume	5174 Nm <sup>3</sup> /min
Diameter of belly	14.4m	Blast temperature	1100°C
Diameter of hearth	13.4m	Humidity	5.1 g/Nm <sup>3</sup>
Height of tuyere	5.2m	Oil-injection	160 kg/min
Liquid level	3.7m	Top pressure	2.63 kg/cm <sup>2</sup>
Length of throat	0 m	Ore by coke	3.8
Length of shaft	16.5m	Coke	34 t/charge
Length of belly	3.0m	Fe in ore	0.579
Length of bosh	3.4m	C in coke	0.916
Length of hearth	5.8m		

力としては、炉体形状、および、操業条件（送風量、送風温度、湿分、O/C 等）を与える。本報告で与えた入力を Table 1 に示す。

初めに、仮定した炉内温度、粒度分布に基づいて、ガス流れモデルにより、気相の流線、圧力を求め、次に、気相の流線に沿つて、気相の反応、熱計算を羽口から、層頂まで進める。固相については、流線を仮定し、逆に層頂から炉下部に向かつて解く。これにより、溶融滴下量が求められるので、滴下層より下部について、液相の、反応、熱計算を、滴下帯から液面まで進める。

以上の手順を、気相、固相、液相との間で繰り返し、さらに得られた、気相、固相の温度、組成分布をもとに、ガス流れモデルで、気相の流線に補正を加えながら、所定の誤差温度、誤差組成内に収束するまで、繰り返し計算を行う。

## 5. シミュレーション結果

4 節で述べた入力条件と計算手順に基づいて、炉内の気-液-固体の温度分布、組成分布、および、反応速度分布を求めることができるが、本節では、シミュレーション結果について述べる。

### 5.1 気相の流線および圧力分布

本モデルで得られた気相の流線および圧力分布を Fig. 4 に示す。2.1.1 で述べた通気異方性の導入により、等圧線は、必ずしも流線と直交していないが、この傾向は融着帶の炉芯寄り部分で、とくに顕著である。

また、等圧線が融着帶以下で密な分布をしているのは、実炉の炉壁静圧分布と合致するように、1000°C 以上の融着帶で空隙率を 0.1、および滴下帯において、0.3 と低下させたためであり、この温度帯で、流線は、炉芯から炉壁へ向かう流れを示した。

### 5.2 荷下がり速度分布

Fig. 5 に荷下がり速度分布を示した。図中の実線およ

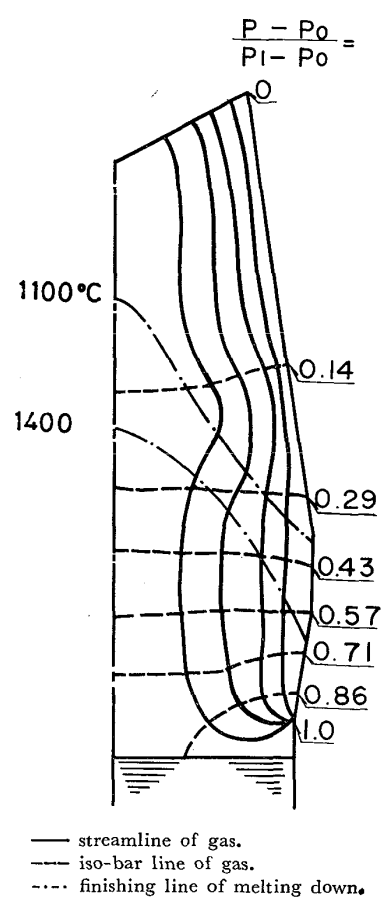


Fig. 4. Streamline and iso-bar line of gas.

び破線は、各部分における荷下がり速度を、それぞれ、質量速度、および、体積速度で表したものである。

ここで、体積速度は、層頂における装入物の空隙率分布を与えることにより、質量速度から算出することができる。

Fig. 5 から、つぎのことがわかる。

(1) 層頂近傍における荷下がり質量速度は、層頂のO/C 分布に強く依存しており、ほぼ対応した分布をしている。

(2) 空隙率を O/C にほぼ比例した形で与えることにより、体積速度分布は、質量速度分布よりも、より偏差の少ないフラットな形状となつた。そのことは、全体として解体調査で判明した、シャフト部における層状構造の維持という事実と定性的に対応している。

### 5.3 滴下帯における液流量分布

Fig. 6 に、融着層以下の液流量分布を示す。Fig. 6 から液流量分布は、荷下がりの質量速度に比例した分布となつていることがわかる。

### 5.4 ガスおよび固体の温度分布

ガスおよび固体の炉内温度分布を、Fig. 7 に示す。これより、つぎのことがわかる。

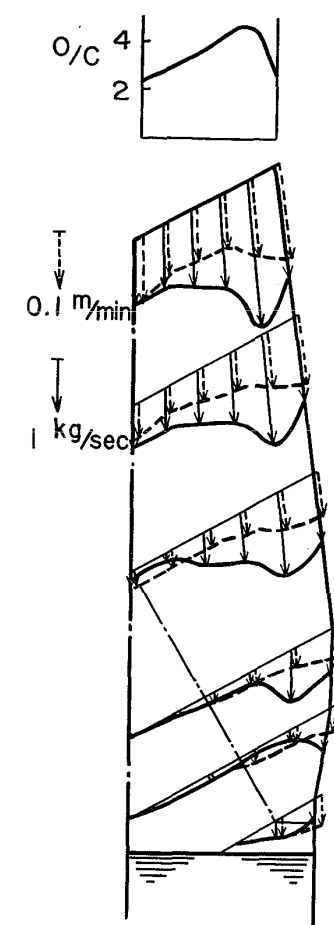


Fig. 5. Descending velocity and mass flow rate of solid in the blast furnace.

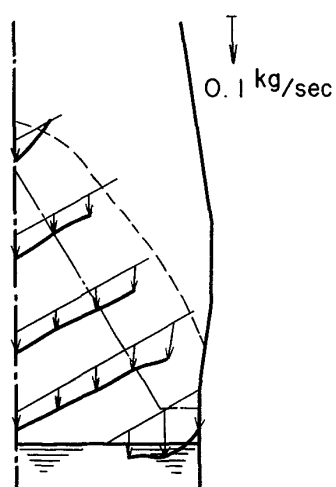


Fig. 6. Mass flow rate of liquid in the blast furnace.

(1) 層頂における温度分布は、ほぼ実炉と一致した傾向を示している。

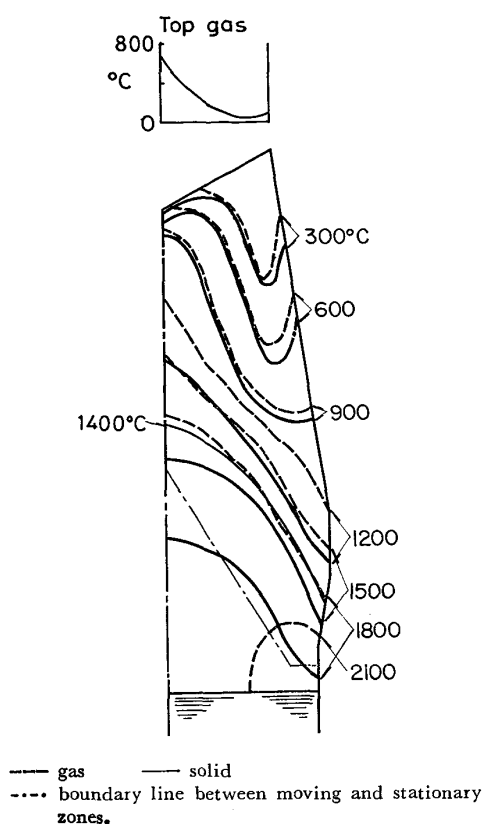


Fig. 7. Temperature distribution of gas and solid in the blast furnace.

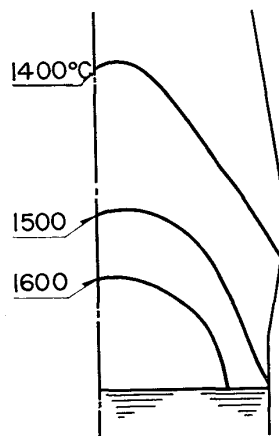


Fig. 8. Temperature distribution of liquid in the blast furnace.

(2) シャフト上部の温度分布は、層頂の O/C 分布の影響を受け、荷下がり質量速度の大きい部分で、温度上昇が小さくなるパターンを示す。

(3) 1400°C 等温線は、いわゆる、逆V型の形状を示しており、解体調査で明らかになつた融着層の形状と、ほぼ一致した傾向を示している。

(4) この融着層の形状を決定する因子としては、O/C の分布および、それと関連する荷下がり速度の分布が、あげられるが、その他に、次に述べる因子を考慮

する必要がある。すなわち、炉心の荷下がり停滞域では、固体の移動がほとんどなく、高温に保持されるため、炉芯は一種の保熱帶として作用する。従つて、この領域から流出する、ガスも高温であり、これにより、鉱石の溶融が促進されたため、融着層の形状は、炉芯形状の影響を大きく受け、逆V型になる傾向を示すものと推定される。

### 5.5 滴下液の温度分布

Fig. 8 に滴下液の温度分布を示す。図から明らかなように、滴下液の温度は炉芯側が、炉壁側より高い分布となつていて、この理由は、炉芯側の滴下距離が長いこと、および、前述したように、炉芯が高温を保持していることによるものと考えられる。

### 5.6 $\text{Fe}_2\text{O}_3$ , $\text{FeO}$ , $\text{Fe}$ の組成分布

Fig. 9 に  $\text{Fe}_2\text{O}_3$  と  $\text{Fe}$  の分布を、また、Fig. 10 に  $\text{FeO}$  の分布を示す。シャフト上部における、 $\text{Fe}_2\text{O}_3$  の分布は、O/C 分布の影響を受け、W型を呈しているが、シャフト部では、Fig. 7 の温度分布からも明らかなように、炉壁側固体温度が相対的に低下するため、還元の進行が遅くなり、 $\text{FeO}$ ,  $\text{Fe}$  の分布は、逆V型になつたものと解釈される。

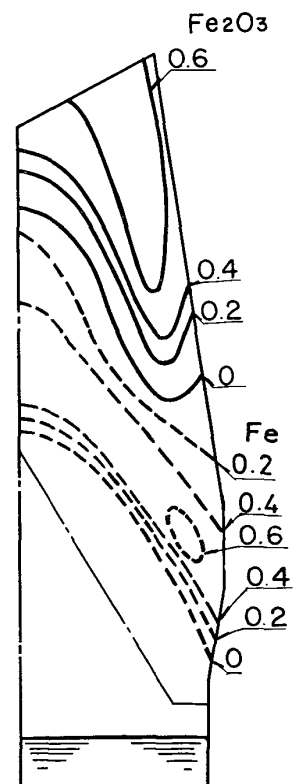


Fig. 9. Mass fraction of  $\text{Fe}_2\text{O}_3$  and  $\text{Fe}$  in the blast furnace.

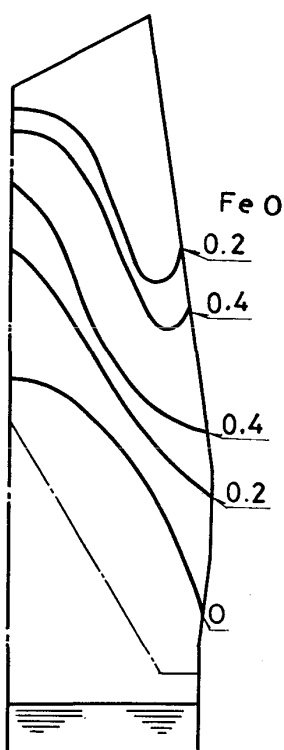


Fig. 10. Mass fraction of FeO in the blast furnace.

### 5.7 ガスの組成分布

CO, CO<sub>2</sub> ガスの炉内分布を、Fig. 11 に示す。ガスの組成分布も、層頂の O/C 分布の影響を強く受け、O/C の多い炉中間部で、CO, CO<sub>2</sub> 分率の高くなる傾向を示した。また、層頂における、CO/CO<sub>2</sub> の分布も、ほぼ実炉と一致した傾向を示していることがわかる。

## 6. 結 言

高炉内の半径方向分布を考慮し、気-固-液3相間の流动、反応、伝熱を同時に解析し得る高炉の数学的モデルを開発し、特性曲線法に基づく数値解析を行うことにより、シミュレーションを実施した結果、次の結論を得た。

(1) 本モデルから得られた層頂のガス温度、組成分布、シャフト部荷下がり速度分布、1400°C 等温線（融着層下限温度）などは、実炉の計測や、解体高炉の調査結果と、ほぼ一致した傾向を示しており、本モデルの妥当性を確認することができた。

(2) シャフト上部における、ガス、固体の温度、組成分布、および、移動速度分布は、層頂における O/C の分布に強く依存しており、ムーバブル・アーマーなどによる O/C 分布調整が有効であることを示唆してい

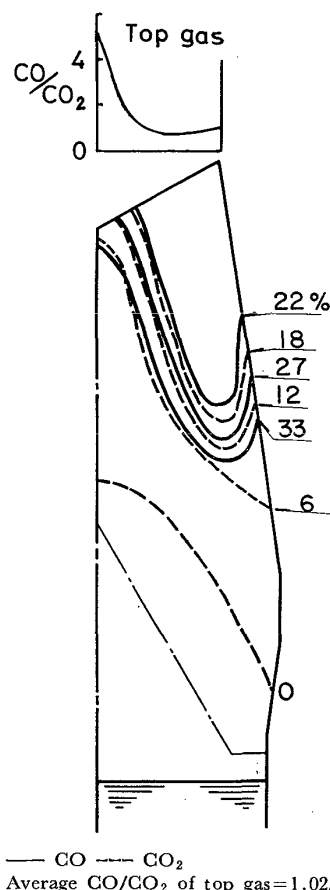


Fig. 11. Mol fraction of CO, CO<sub>2</sub> gas in the blast furnace.

る。

(3) 炉下部では、保熱帯として作用する荷下がり停滞域の影響が強く、融着帯が逆V型の形状を示す主要な原因の1つになつているものと推定される。

最後に、本研究を遂行するにあたり、終始御指導を賜りました、住友金属工業(株)中央技術研究所前所長小田尚輝博士、所長西岡邦夫博士、波崎研究センタ所長白岩俊夫博士、および有益なる助言をいただきました赤松経一研究所次長に深甚の謝意を表する次第であります。

## 記 号

$c_j$	i 相の熱容量	[kcal·m/kg·s·°C]
$C_i$	i 成分のモル濃度	[kmol/m <sup>3</sup> ]
$d$	充填物粒径	[m]
$D_i$	i 成分の拡散係数	[m <sup>2</sup> /s]
$E_j$	$E_g = \epsilon(1 - \epsilon_1)$ , $E_s = (1 - \epsilon)$ , $E_1 = \epsilon\epsilon_1$	[—]
$h_{kj}$	k 相-j 相間の熱伝達係数	[kcal/m <sup>2</sup> ·s·°C]
$k_j$	j 相の熱伝導度	[kcal/m·s·°C]
$M_i$	i 成分のモル質量	[kg·s <sup>2</sup> /kmol·m]
$Nu$	ヌッセルト数	[=hd/k]
$P$	静圧	[kg/m <sup>2</sup> ]
$Pr_j$	j 相のプラントル数	[=μ <sub>j</sub> c <sub>jg</sub> /k <sub>j</sub> ]
$q_{jy}$	j 相における y 方向の粒子間実質流速	[m/s]

$Q_j$ : j 相の反応熱	[kcal/m³·s]
$Re_j$ : j 相のレイノルズ数	$=[v_j \rho_j d / \mu_j]$
$R_i$ : i 成分の反応速度	[kmol/s·m³]
$T, T'$ : 温度	[°C]
$V_j, V_{j\parallel}$ : j 相の空塔換算流速	[m/s]
$V_{jy}$ : j 相での y 方向の空塔換算流速	[m/s]
$V_\perp, V_\parallel$ : 層に垂直な方向、平行な方向の空塔換算流速	[m/s]
$\Delta X$ : 層厚さ	[m]
$\alpha_{xy}, \beta_{xy}$ : y 方向にガスが流れた時の、x 方向への充填層通気抵抗 [ $\alpha_{xy}: 1/m, \beta_{xy}: kg·s/m^4$ ]	
$\alpha_o, \beta_o$ : o 層の通気抵抗係数 [ $\alpha_o: 1/m, \beta_o: kg·s/m^4$ ]	
$\delta$ : 代表長さ [ $=d/6E_j$ ]	[m]
$\epsilon$ : 充填層の空隙率	[—]
$\epsilon_1$ : 液滞留率 [液の体積/空隙体積]	[—]
$\epsilon_o$ : o 層の空隙率	[—]
$\mu_j$ : j 相の粘性係数	[kg·s/m²]
$\xi_i$ : i 成分の質量分率	[—]
$\kappa$ : ガス定数	[m²/s²·°C]
$\rho_j$ : j 相の密度	[kg·s²/m⁴]
$\psi$ : 流れの函数	

## 添字

- i, j: 各々成分、相を表す。  
 g, s, l: 各々気相、固相、液相を表す。  
 o, c: 各々鉱石層、コーカス層を表す。  
 x, y, r, z: 座標  
 ⊥, ∥: 層に垂直な方向、平行な方向を表す。  
 ,x: x に関する偏微分を表す。  
 ,rz: r および z に関する 2 階偏微分を表す。

## 文 献

- 1) 佐々木寛太郎, 羽田野道春, 渡辺雅雄, 下田輝久, 横谷勝弘, 伊東孝夫, 横井毅: 鉄と鋼, 62 (1976) 5, p. 580  
 2) 神原健二郎, 萩原友郎, 重見彰利, 近藤真一, 金

- 山有治, 若林敬一, 平本信義: 鉄と鋼, 62 (1976) 5, p. 535  
 3) A. K. LAHIRI and V. SESHADRI: JISI, March (1969), p. 293  
 4) 桑原守, 鞍巖: 鉄と鋼, 61 (1975) 6, p. 787  
 5) 重見彰利, 鈴木明, 肥田行博, 山口一良: 鉄と鋼, 64 (1978) 4, S 47  
 6) 羽田野道春, 沖宏治, 山岡秀行, 山県千里, 村上陽一: 鉄と鋼, 65 (1979) 4, S 47  
 7) S. ERGUN: Chem. Eng. Prog., 48 (1952) 2, p. 89  
 8) J. RADESTOCK and R. JESCHAR: Stahl u. Eisen, 90 (1970) 22, p. 1249  
 9) 羽田野道春, 栗田興一: 鉄と鋼, 62 (1976) 8, p. 953  
 10) V. STANEK and J. SZEKELY: Canad. J. Chem. Eng., 50 (1972), p. 9  
 11) 桑原守, 鞍巖: 鉄と鋼, 62 (1976) 5, p. 463  
 12) 全明, 館充: 鉄と鋼, 61 (1975) 7, p. 948  
 13) J. YAGI and J. SZEKELY: Trans. ISIJ, 17 (1977), p. 576  
 14) 羽田野道春, 栗田興一, 岡根幸司: 鉄と鋼, 63 (1977) 2, p. 217  
 15) J. SZEKELY and Y. KAJIWARA: Met. Trans., 10B (1979) Sept., p. 447  
 16) 鞍巖, 森山昭: 冶金反応工学, (1972), p. 232 [養賢堂]  
 17) W. H. GIEDT: 基礎伝熱工学 (横堀進, 久我修共訳), (1957), p. 146, p. 281 [丸善]  
 18) T. INATANI, T. FUKUTAKE, and K. OKABE: Der Hochofenprozess, (1973), p. 114 [Verlag Stahleisen M. B. H.]